

## 삼성광산 일대의 견운모광화작용에 대한 광물학적 및 성인적 연구

김원사\* · 최준규

충남대학교 시설환경과학과, 305-764 대전광역시 유성구 궁동 220번지

## Mineralogy and Genesis of the Sericite Ore from the Samsung Mine Area

Won-Sa Kim\* and Jun-Kyu Choi

Department of Geology and Earth Environmental Sciences, Chungnam National University,  
Daejeon 305-764, Korea

**Abstract:** The Samsung mine is located in Jeongsan-myeon, Cheongyang-gun, Chungcheongnam-do, and is produces sericite ores. The purpose of this study is to investigate the geology and mineralogy of sericite ore and its host-rock together with the alteration processes and age of sericitization. Geological survey, polarizing microscopy, X-ray powder diffraction, electron microprobe analysis, X-ray fluorescent analysis, differential thermal analysis, and K/Ar isotope study have been employed for this study. The mine area is composed of Precambrian granite-gneiss and mica schist, and also Jurassic biotite granite. Sericitization has occurred within the granite-gneiss, and is interpreted to be formed by hydrothermal alteration. The sericite was formed by the breakdown of orthoclase, plagioclase, and biotite, respectively. With sericitization intensity increase,  $\text{SiO}_2$  and  $\text{Na}_2\text{O}$  contents are decreased, while  $\text{Al}_2\text{O}_3$  and  $\text{K}_2\text{O}$  increased. The formation age of sericite has been determined to be Jurassic, which corresponds well to the intrusion age of the biotite granite nearby.

**Keywords:** Samsung mine, sericite, sericitization, hydrothermal alteration

**요약:** 충남 청양군 정산면에 위치한 삼성광산은 견운모를 생산하고 있는 광산으로서, 이 광산 및 주변지역에서 산출되는 견운모에 대해 지질학적 및 광물학적 연구를 실시하였다. 이 연구를 위해 아외자신조사 및 편광현미경 관찰, X선회절분석, 전자현미분석, X선형광분석, 시차열분석, K/Ar 동위원소분석 등의 실내연구를 실시하였다. 삼성광산 지역은 선캄브리아기의 화강편마암이 넓게 분포하고 있으며, 같은 시기의 운모편마암이 발달하고 있다. 견운모는 화강편마암의 열수변신작용에 의해 생성된 것으로 시료되어, 원안의 주요 구성광물인 정장석, 사장석, 흑운모의 순서로 변신된다. 견운모화가 진행되어 금에 따라 석영의 외과부분에서 용해작용에 의한 반곡현상이 심화되다가 점차 사라진다. 견운모화의 변신작용이 진행됨에 따라 모안의 화학성분은  $\text{SiO}_2$ ,  $\text{Na}_2\text{O}$  함량은 감소하는 반면,  $\text{Al}_2\text{O}_3$ ,  $\text{K}_2\text{O}$ 는 증가하는 양상을 나타낸다. 견운모의 생성시기는 중생대 후라기이며, 이 시기는 화강편마암을 관입한 후운모화강암의 관입시기와 잘 일치한다.

**주요어:** 삼성광산, 견운모, 견운모화, 견운모작용, 열수변신작용

## 서 론

실로광물류의 하나인 견운모(sericite)는 광물학적 특성으로 인해 산업적으로 넓하게 활용되고 있는 중요한 비금속 광물자원이다. 견운모란 일반적으로 이원면체(dioctahedral) 구조를 가지며 셀유상 조식을 나타내는 미립질의 배운모(muscovite)를 시칭하는 용-

어로서, 배운모와 셀라노나이트(celadonite)의 고용체에 해당한다. 견운모에는 알칼리 원소의 양이 10-11% 정도로 높기 때문에 준상석 혹은 상석 등 고가의 플럭스(flux)를 침가하지 않고서도 완전히 유리질화로 만들 수 있기 때문에 위생도기, 전기 단자, 태양, 기와 등을 제조하는데 많이 사용되고 있다(Robinson, 1984). 또한 입자 크기가 구비립이기 때문에 광택과 미끄러움이 훌륭한 재료로 쓰이며, 전연성과 흡착성이 탁월하여 고가의 화장품의 주요 원료로도 사용되고 있다(Tokubo, 1986;

\*Corresponding author: kimws@chun.ac.kr  
Tel: 82-42-821-6428  
Fax: 82-42-822-7661



Fig. 1. A view of the Samsung mine area.

양정일 외, 1996).

국내의 대표적인 견운모광상으로는 경북 봉화군에 소재한 대현광산과 경북 경주시 양북면에 있는 맥스텍광산, 유광광산 등이 있다. 또한, 비립질의 석영과 견운모가 혼합된 도석광산은 경남, 경북, 전남 일대의 유문암과 화산암내에 발달하고 있으며, 그 대표적인 광산으로는 보매도석광산과 지도도석광산, 상동광산 등이 있다. 그동안 국내 견운모를 생산하는 광상을 대상으로 연구발표된 주요 사례를 요약하면, 대현광산의 견운모화 광화작용에 대한 김종환 외(1984), 이병임(1991), 이병임과 김수진(1998), 고상모 외(2000) 등의 연구자료가 있으며, 경북 양북 지역에 산출하는 견운모광석을 대상으로 물성 및 부존 산상 특징에 관한 이동진과 고상모(1998)의 연구가 있으며, 길종대(1992) 등이 연구가 있다. 또한 부산 보매 견운모광산에서 산출되는 견운모에 대하여는 길종대(1992) 등이 연구가 있다. 또한 부산 보매 견운모광산에서 산출되는 견운모에 대한 산출상태 및 생성환경에 관한 문지원과 문희수(1991), 추창호와 길수진(1992, 1996), 황진연 외(1993) 등의 연구논문이 있으며, 유광 견운모 광산의 성인에 대하여는 박맹언(1992)이, 그리고 지도 도석광산에 대하여는 박영석과 김진(1993) 등이 연구한 바가 있다.

삼성광산은 충청남도 청양군의 정선면에 있으며 (Fig. 1) 청양읍내에서 북동방향으로 약 7.7 km 떨어진 곳에 위치하고 있다. 광산은 비교적 신생광산으로서, 현재 월 평균 100여 톤의 생산량을 보이고 있는 견운모광산임에도 불구하고 아직까지 지질학적, 광물학적 연구가 전혀 이루어지지 않은 곳이다. 이 광산은 채광 사업을 시작한지 불과 수년 밖에 되지 않으며, 노·천체굴 방식을 통해 활발하게 채광 중에 있다.

## 연구 목적 및 방법

이 연구의 목적은 삼성광산에서 채광되고 있는 견운모 광석에 대한 지질학적 및 광물학적 연구를 실시하고, 이 견운모 광상의 형성에 대해 밝히고자 함에 있다. 이 연구를 위해 삼성광산 및 주변 일대에 대한 지질조사를 실시하였으며, 견운모 광석에 대한 광물학적 실험을 실시하였으며, 견운모광화작용의 생성기구를 밝히기 위해 관련 화성암에 대한 암석화학 및 동위원소 연구를 실시하였다.

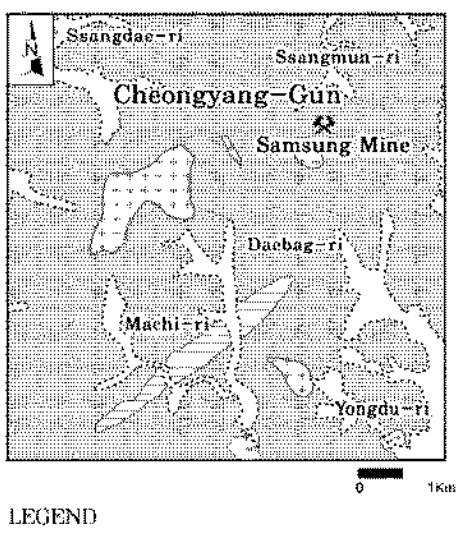
이번 실시된 구체적인 연구방법으로는 광산일대에 분포하고 있는 주변 암석의 조암광물의 종류 및 조작을 관찰하기 위해, 그리고 신선한 모암으로부터 견운모화가 되어가는 과정을 규명하기 위해 편광현미경을 사용하였다. 견운모 광석 및 주변 암체를 구성하는 주구성 원소의 종류와 그 함량을 규명하기 위해 X선형광분석을 실시하였다. 아울러, 모암에 들어있는 주요 조암광물과 견운모의 화학성분을 규명하기 위해 전자현미분석을 실시하였다. 또한, 견운모에 대한 광물학적 연구를 위해 시차열분석 및 적외선흡수분광분석 등을 실시하였다. 그리고, 광물의 결정구조 및 견운모 광화작용의 단계별 특징을 밝히기 위해 X선회절분석을 실시하였으며, 모암으로부터 견운모가 형성된 시기를 규명하기 위해 K/Ar 동위원소분석 등을 실시하였다.

## 지질 및 암석 기재

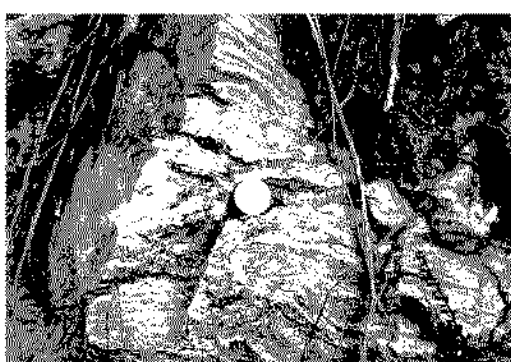
연구지역의 대부분은 선캡브리아기의 화강편마암으로 구성되어 있으며, 정선면 일부 지역에 선캡브리아기의 운모편암이 대상으로 분포하고 있다. 그리고 중생대의 흑운모화강암이 화강편마암을 곳곳에서 관입하고 있으며, 저지대를 중심으로 충적층이 그 위를 퍼복하고 있다(Fig. 2).

화강편마암은 연구지역에서 가장 넓게 분포되어 있는 암석으로서, 견운모광체의 모암이다. 신선한 암석 노두는 담회색을 띠며 편마구조가 뚜렷하게 나타난다 (Fig. 3). 주요 구성광물은 석영, 정장석, 사장석이며, 소량의 흑운모, 자철석 등이 존재한다. 신선한 노두에서는 배운모와 사장석이 비약하게 견운모화 되어 있다. 화강편마암의 진암분석 결과는 Table 1과 같다.

운모편암은 통화작용을 심하게 받아 전체적으로 갈



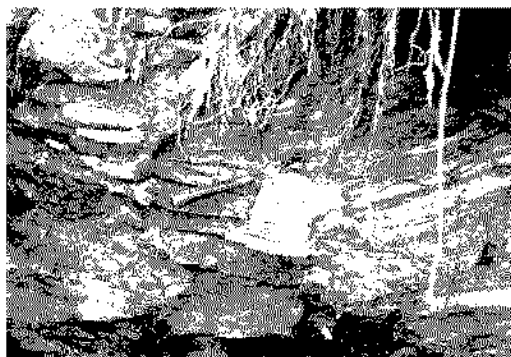
**Fig. 2.** Geological map of the Samsung mine area.



**Fig. 3.** An outcrop of granite-gneiss showing prominent gneissic structures.

색을 띠고 있다. 이 암체는 북동방향으로 발달하고 있으며, 편리구조가 잘 발달하고 있다(Fig. 4). 석영, 정장석 및 흑운모가 주구성광물이다. 이 암석의 전암화학분석값은 Table 1과 같다.

흑운모화강암은 화강편마암을 관유한 암체로서, 담갈색을 띤다(Fig. 5). 이 암석은 중립 또는 조립질이며 대부분 풍화를 심하게 받았다. 주요 구성광물은



**Fig. 4.** An outcrop of mica schist showing well schistosity.

**Table 1.** Bulk chemical compositions (wt.%) of various rocks in the Samsung mine area

	1	2	3
SiO <sub>2</sub>	72.96	54.50	70.28
Al <sub>2</sub> O <sub>3</sub>	12.96	19.67	7.06
Fe <sub>2</sub> O <sub>3</sub>	2.27	9.18	2.25
CaO	0.77	0.54	0.24
MgO	0.77	3.37	0.48
K <sub>2</sub> O	4.86	6.42	2.94
Na <sub>2</sub> O	2.39	0.69	4.02
TiO <sub>2</sub>	0.25	0.06	0.18
MoO	0.01	0.23	0.03
LOI*	1.61	3.57	2.45

\*LOI : Loss of ignition.

1: granite-gneiss, 2: mica schist, 3: biotite granite.  
Each composition is averaged value of 4 analyses.

석영, 정장석, 사장석, 흑운모이며, 미사장석, 백운모, 자질석 등이 소량 함유되어 있다. 이 암석의 전암화학분석결과는 Table 1과 같다.

## 견문모 광석

### 광물학적 특징

삼성광산에서 생산되는 견문모 광석은 회색 내지 암회색을 띠고 있으며, 경도가 낮고 감촉이 부드러우며, (001)면개와 낮은 경도로 인해 표면이 매우 미끌미끌하다(Fig. 6). 견문모화가 완전하게 진행된 광석은 옅은 노란색을 띠며, 경도는 오히려 강하게 느껴진다. 견문모는 비립질의 다결정질 상태로 산출되며, 대부분 섬유상 혹은 비립의 판상 조직을 나타낸다. 개방나脈 하에서는 무색이며 다색성이 관찰되지 않는다. 교차나脈에서는 대부분 1등급에 해당하는 옅은 황색(150-250 μm)의 간섭색을 띠며, 병행소광을 한다.

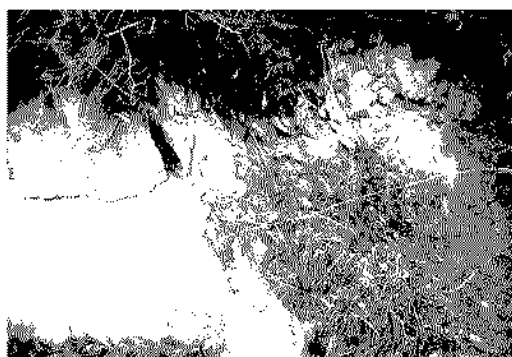


Fig. 5. An outcrop of biotite granite in the Samsung mine area.



Fig. 6. Sericite ores showing gray in color. They are soft and yield whitish streak.

모암을 구성하고 있는 광물의 종류에 따라 견운모로 변질되는 정도에 따라 양상에 차이가 있음을 알 수가 있다. 또한 순도가 높은 견운모 광석은 전체적으로 미립질의 견운모로 되어 있으며, 규모의 석영, 자질석, 방해석 등이 험유되어 있다.

#### 화학성분

견운모에 대한 전자현미분석 결과는 Table 2와 같다.  $\text{SiO}_2$ ,  $\text{Al}_2\text{O}_3$ ,  $\text{Fe}_2\text{O}_3$ ,  $\text{MgO}$ ,  $\text{K}_2\text{O}$ 의 평균 함량은 각각 47.37wt.%, 34.30wt.%, 1.23wt.%, 0.99wt.%, 11.84wt.%를 나타내고 있다.  $\text{CaO}$  함량은 평균 0.49wt%으로 매우 작다. 화학분석 자료에 의하면 중간원소는 대부분  $\text{K}^{+}$ 임을 알 수 있으며,  $\text{Na}^{+}$ 과  $\text{Ca}^{2+}$  함량은 매우 적다. 이러한 사실은 견운모가 common mica임을 확인시켜준다. 사면체 배위구조 내의  $\text{Al}^{3+}$ 은 상당량  $\text{Fe}^{2+}$ 의 의해 치환되어 있음을 알 수 있다. 팔면체 다면체 구조 내에 위치하고 있는  $\text{Si}^{4+}$  역시  $\text{Al}^{3+}$ 에 의해 일부 치환되어 그 산화수 보정을 위해

Table 2. Electron microprobe analyses (wt.%) of sericitic from Samsung mine

	1	2	3	4
$\text{SiO}_2$	48.00	47.78	48.12	48.14
$\text{Al}_2\text{O}_3$	33.40	33.42	32.98	33.92
$\text{Fe}_2\text{O}_3$	1.25	1.26	1.30	1.31
$\text{CaO}$	0.50	0.46	0.53	0.47
$\text{MgO}$	0.82	0.78	0.85	0.79
$\text{K}_2\text{O}$	10.42	10.45	10.38	11.07
$\text{Na}_2\text{O}$	0.39	0.35	0.38	0.36
$\text{TiO}_2$	0.03	0.02	0.04	0.03
$\text{MnO}$	0.00	0.00	0.01	0.00
L.O.I*	5.10	5.09	5.11	5.14
Total	99.91	99.61	99.7	101.23

\*L.O.I: Loss of ignition.

$\text{K}^{+}$ 이 중간원소로 존재하고 있다.

#### 적외선흡수분광분석

견운모에 대해 적외선흡수분광분석을 실시한 결과, 3634, 3400, 1642, 1015, 934, 825, 752, 694, 530, 474, 408  $\text{cm}^{-1}$ 에서 흡수 피크를 나타낸다. 층상구조 광물인 경우 구조수인  $\text{OH}$ 는 3600~3700  $\text{cm}^{-1}$ 에서 강한 흡수피크를 나타내는 경향이 있으며, 따라서 3634  $\text{cm}^{-1}$ 는 이에 기인된 것으로 해석된다. 또한, 3400  $\text{cm}^{-1}$ 에서 나타나는 약한 흡수현상은 흡취수에 인한 것으로 시료된다. 한편 1640  $\text{cm}^{-1}$  부근에서 관찰되는 흡수피크는 물분자의 파괴에 기인하는 것으로 해석되고 있다. 이 광산에서 산출되는 견운모에서 관찰되는 흡수 피크의 발생 원인은  $\text{Al}-\text{O}-\text{H}$  stretching vibration(3634  $\text{cm}^{-1}$ ),  $\text{H}-\text{O}-\text{H}$  stretching(3400  $\text{cm}^{-1}$ ),  $\text{H}-\text{O}-\text{O}$  bending vibration(1642  $\text{cm}^{-1}$ ),  $\text{Si}-\text{O}$  stretching vibration(1015  $\text{cm}^{-1}$ ),  $\text{Al}-\text{O}-\text{H}$  bending vibration(934  $\text{cm}^{-1}$ ),  $\text{Al}-\text{O}-\text{H}$  stretching vibration(825  $\text{cm}^{-1}$ ),  $\text{Si}-\text{O}-\text{Al}$  stretching vibration(752  $\text{cm}^{-1}$ ),  $\text{Si}-\text{O}-\text{Al}$  stretching vibration(694  $\text{cm}^{-1}$ ),  $\text{Si}-\text{O}-\text{Al}$  bending vibration(530  $\text{cm}^{-1}$ ),  $\text{Si}-\text{O}$  bending vibration(474  $\text{cm}^{-1}$ ),  $\text{Si}-\text{O}$  bending vibration(408  $\text{cm}^{-1}$ ) 등에 기인된 것으로 해석된다.

#### 시차열분석

시차열분석 결과에 의하면, 700~750°C와 1100~1150°C에서 주된 흡열피크가 나타난다. 700~750°C에서 일어나는 흡열피크는 견운모 내에서의 결정구조의 탈수현상에 기인된 것으로 해석되며, 1100~1150°C에서 나타나는 흡열피크는 견운모의 결정구조가 파괴된 것과 관련된 현상으로 해석된다. 견운모는 1200°C에

**Table 3.** X-ray powder diffraction data of sericite from the Samsung mine

h	k	l	1		2	
			d (Å)	I/I <sub>0</sub>	d (Å)	I/I <sub>0</sub>
0	0	2	10.15	75	9.95	95
0	0	4	5.00	47	4.97	30
1	1	0	4.48	61	4.30	4
0	2	4	3.342	100	3.32	100
1	1	5	2.877	56	2.859	25
2	0	2	2.568	74	2.566	55
0	0	10	1.998	70	1.993	45
3	1	2	1.651	30	1.646	25
0	6	0	1.503	53	1.504	12
0	1	2	1.352	23	1.352	12
4	0	0	1.292	16	1.292	6

1. sericite from Samsung mine, 2. muscovite 2M<sub>1</sub> (PDF 6-263).

서 물라이트와 비정질물질로 형성되는 것으로 알려져 있으나 이 분석실험에서는 축정한계(1170°C)를 초과하였기에 확인이 불가능하였다. 100°C 부근에서 흔히 관찰되는 표면 흡착수의 증발에 따른 흡열피크는 이 실험에서는 관찰되지 않았다.

#### X선회절분석

삼성광산에서 산출되는 전운모의 X선회절분석 자료에 따르면(Table 3) 20=22-30°범위인 26.65°(3.342Å)에서 최대 강도의 선명한 회절선을 나타낸다. 또한, 이 전운모는 1M, 2M<sub>1</sub>, 2M<sub>2</sub>, 3T 등의 등상 동질이상체(polytype)중에서 2M<sub>1</sub>의 X선회절분석 자료와 잘 일치함을 알 수가 있다(Mineral Powder Diffraction File, 6-263). 이러한 결과는 2M<sub>1</sub>형의 경우 825 cm<sup>-1</sup>에서 적외선 흡수피크를 나타내는 현상과 아울러 이 전운모의 결정구조가 2M<sub>1</sub>임을 알 수가 있다. 이 전운모의 기저면(002)의 층간거리는 10.156Å이며, 5.00(47), 4.48(61), 3.342(100), 2.877(56), 2.568(74), 1.998(70), 1.651(30), 1.503(53), 1.352(23), 1.292Å(16) 피크의 강도가 높게 나타나고 있다. 3.342Å 피크는 석영의 최대 피크인 3.343Å과도 일치하기 때문에 이 실험으로부터 도출된 X선회절분야 양상에서 나타나는 피크의 강도가 전운모 광체 속에 소량으로 존재하는 석영 입자로 인해 다소 영향을 받았을 가능성을 배제할 수 없다.

#### 비중, 흡수율, 공극율

삼성광산에서 채취한 고품위 광석인 경우 비중이



**Fig. 7.** Excavating site of Samsung mine. Sericite orebody is developed in the 5-10 m level below the surface.

2.81이며, 흡수율이 0.43%, 공극율은 1.21%이다. 한편, 삼성광산 인근지역에 존재하는 고순도의 전운모 광석에 대해 동일한 실험을 한 결과에 의하면, 비중이 2.83, 흡수율이 0.25%, 공극율은 0.71%로 나타났다. 이러한 사실은 삼성광산 인근지역에 산출하는 전운모광체는 현재 삼성광산에서 생산 중에 있는 전운모광체에 비해 비중은 더 크고, 흡수율과 공극율은 적음을 알 수가 있다. 이러한 현상은 삼성광산에서 채취한 광석이 인근 지역에 발달한 전운모 광체에 비해 전운모화가 덜 진행된 결과로, 광물입자가 너즈털질이며 다소 느슨하게 결합되어 있음을 추측할 수 있다.

#### 전운모 광석의 산상과 제반 양상

##### 산출상태

삼성광산(Fig. 7)에서는 전운모 광상이 화강편마암 내에 형성되어 있으며, 지표면 하부 5~10 m 구간까지 주로 형성되어 있다. 광체 폭은 약 20 m 정도이다. 삼성광산에서 전운모광체가 형성된 것은 광산 인근에 분포하는 흑운모화강암의 관입과 성인적으로 관련이 있는 것으로 추정된다. 즉, 흑운모화강암체를 형성한 마그마에서 비롯된 열수용액이 화강편마암을

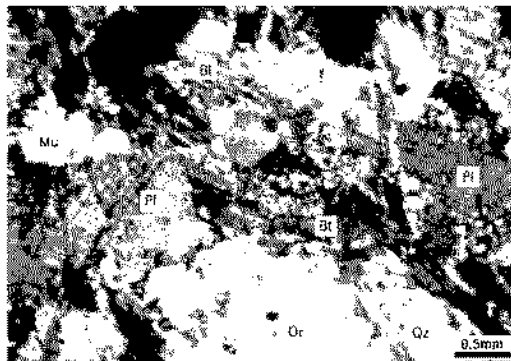


Fig. 8. Photomicrograph of granite-gneiss showing slight alteration of feldspars. Orthoclase (Or), quartz (Qz), plagioclase (Pl), biotite (Bt) are observed. Orthoclase is partly altered to sericite. Crossed niols.



Fig. 9. Photomicrograph of granite-gneiss showing moderate alteration of feldspars. Quartz (Qz), plagioclase (Pl), biotite (Bt) are observed. Orthoclase is entirely altered to sericite (Sr). Crossed niols.

구성하는 조암광물과 화학반응하여 열수변질을 일으킨 것으로 사료된다. 이러한 가능성은 견운모 광체 내부 또는 주변에 석영맥이 빈번하게 발달되고 있는 사실로 뒷받침된다. 한편, 석영맥 관암이 없는 곳 또는 흑운모화강암체와 공간적으로 벌리 떨어져 있는 화강편마암 내에서도 양질의 견운모 광상이 형성되어 있는 것으로 보아 견운모 광상 근처의 지하에 흑운모화강암이 존재할 것이라는 추측을 가능케 한다.

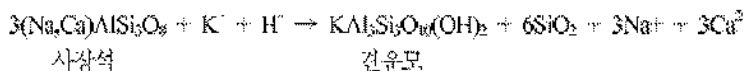
#### 견운모 형성의 변질 강도별 암상

모암이 견운모 광체로 변화하는 과정은 화강편마암을 구성하는 광물의 종류에 따라 변질되는 정도에 따라 광물 종류 및 조작에 차이를 나타낸다. 견운모

광석을 현광현미경으로 관찰하면 변질작용의 강도에 따라 대체로 5가지 양상을 나타낸다.

① 비교적 신선한 화강편마암 내에는 정장석, 석영, 사장석, 정장석이 주요 구성광물로 존재하며, 정장석의 일부가 견운모로 변질되어 있다(Fig. 8).

② 모암 중 정장석은 거의 견운모로 변질되어 있으며, 사장석은 비교적 미약하게 견운모로 변질되어 있다(Fig. 9). 사장석의 경우 결정 내부에서 벽개방향을 따라 견운모화가 일어나고 있으며, 외곽부는 비교적 신선하다. 사장석과 정장석이 견운모화되기 위해서는 열수용액으로부터 공급되는 원소 즉, K, H가 있어야 한다. 사장석과 정장석이 견운모로 변질되는 반응은 다음과 같이 나타낼 수가 있다.



③ 사장석의 결정 내부는 물론 결정 외곽부에서도 견운모로 변질되는 현상이 뚜렷하게 나타남을 알 수가 있다(Fig. 10). 석영은 변질되지 않은 상태로 있다.

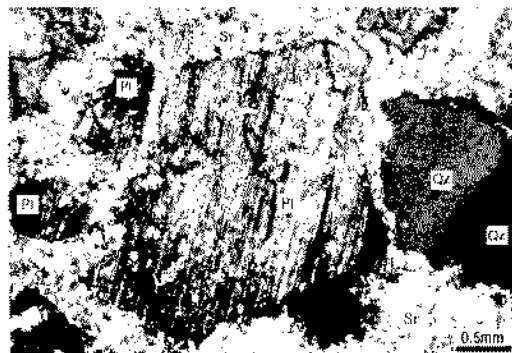
④ 정장석과 사장석은 거의 견운모로 변질되어 있으며, 흑운모 역시 견운모로 변질되고 있다(Fig. 11). 또한 석영은 외곽부를 따라 만곡한 구조를 이루며 변질되며 그 내부는 신선하게 보존되어 있다(Fig. 12).

⑤ 석영 결정까지 모두 소멸된 양상을 나타낸다.

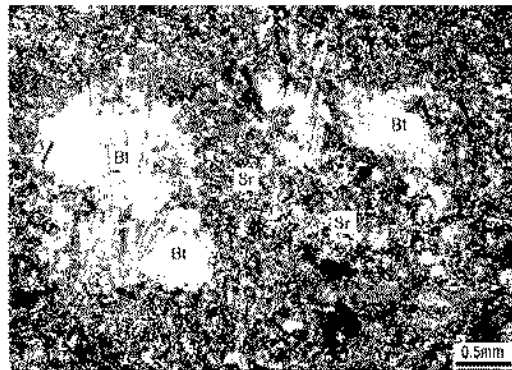
그러나 규마립의 석영, 방해석, 자철석 등이 소량 존재한다(Fig. 13).

#### 변질 강도별 X선회절분석 양상

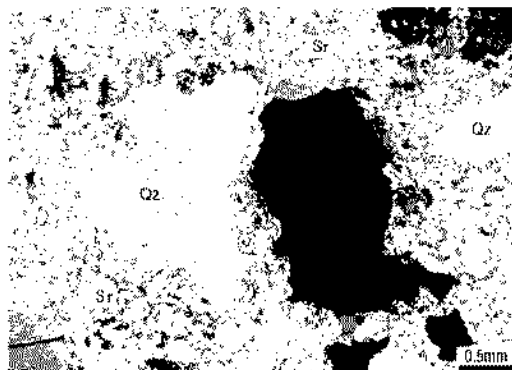
견운모화 진행 단계별로 분석한 X선회절 분밀양상에 따르면(Fig. 14), 신선한 모암인 경우 사장석(P), 정장석(O), 석영(Q) 등에 의한 회결선이 잘 나타나고 있다. 하지만, 견운모로의 변질 정도가 증가한수록



**Fig. 10.** Photomicrograph of granite-gneiss showing moderate sericitization. Plagioclase(Pl) is strongly altered to sericite. Quartz(Qz) is seen. Crossed nicols.

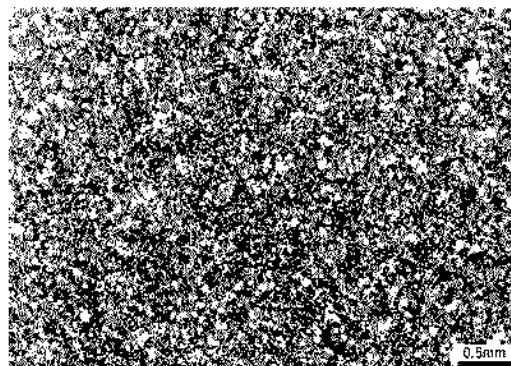


**Fig. 11.** Photomicrograph of granite-gneiss with intensive alteration. Remnants of biotite(Bi) flakes are seen in the sericite matrix. Crossed nicols.

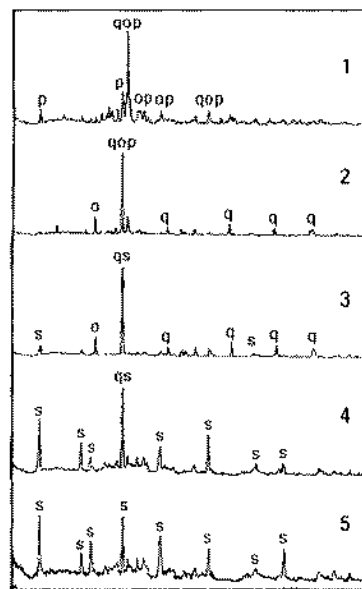


**Fig. 12.** Another photomicrograph of granite-gneiss showing the intensive sericitization. Quartz(Qz) grains have been dissolved along the outlines of quartz grains. Crossed nicols.

정장석의 희질선( $3.35\text{ \AA}$ )이 가장 먼저 소멸되며, 그 다음으로 사장석이 소멸됨을 알 수 있다. 다음으로는



**Fig. 13.** Photomicrograph of sericite ore. Most of the host rock-forming minerals have been altered to sericite. Numerous minute grains of quartz, calcite, and some opaque minerals are visible within the matrix. Crossed nicols.



**Fig. 14.** X-ray powder diffractograms showing the gradual changes with alteration intensity of host rocks. 1: unaltered granite-gneiss, 2: slightly altered granite-gneiss, 3: moderately altered granite-gneiss, 4: intensively altered granite-gneiss, 5: sericite ore. p: plagioclase, q: quartz, s: sericite.

석영이 주로 잔존하고, 동시에 견운모에 의한 희질선이 뚜렷하게 생성됨을 알 수가 있다. 그 다음 단계에서는 석영의 외곽을 따라 만곡한 융해구조를 나타낸다. 견운모화가 완성된 단계에서는 견운모에 해당하는 희질선만 존재함을 알 수가 있다. 이러한 사실은 편광현미경으로 바렌을 관찰한 결과와도 잘 일치한다.

**Table 4.** Chemical compositions (wt%) of host rock (granite-gneiss) and different altered sericite ores

	1	2	3	4	5
SiO <sub>2</sub>	73.96	73.58	59.11	46.42	47.37
Al <sub>2</sub> O <sub>3</sub>	12.96	15.05	18.51	31.28	34.30
FeO <sub>3</sub>	2.27	0.28	8.13	1.50	1.23
CaO	0.77	0.62	0.68	2.88	0.39
MgO	0.77	0.16	2.62	0.93	0.99
K <sub>2</sub> O	4.86	5.12	4.30	9.90	11.845
Na <sub>2</sub> O	2.39	3.76	2.90	0.39	0.14
TiO <sub>2</sub>	0.25	0.00	0.81	0.05	0.02
MnO	0.01	0.00	0.05	0.02	0.00
P <sub>2</sub> O <sub>5</sub>	0.15	0.13	0.09	0.24	0.34
Li <sub>2</sub> O	1.61	1.28	2.75	6.39	3.36

1: unaltered granite-gneiss, 2: slightly altered granite-gneiss, 3: moderately altered granitic gneiss, 4: intensively altered granite-gneiss, 5: sericite ore.

견운모화 진행정도에 따른 모암의 화학적 변화 양상  
신선한 모암으로부터 고온의 견운모광체로 가까워  
질에 따라 화학성분의 변화양상을 알아보기 위해 단  
계별로 화학분석하였다(Table 4). 견운모로 변질되는  
현상이 현저해 질 수록 SiO<sub>2</sub>, Na<sub>2</sub>O 함량은 뚜렷하게  
감소하는 반면, Al<sub>2</sub>O<sub>3</sub>, K<sub>2</sub>O는 증가하는 양상을 나타  
낸다. CaO는 대체로 감소하는데, 그 이유는 모암의  
사상석 내에 있던 Ca 원소가 이 견운모로 변질될 때  
Ca<sup>2+</sup>가 존재할 수 있는 위치 즉, 중간원소에는 1가의  
양이온만 차지 할 수가 있으므로 이 중간원소 자리  
를 차지하고 초과되는 양만큼 외부로 유출된 결과로  
보인다. 사상석 내에 풍부하게 존재하던 Na<sup>+</sup>은 같은  
산화수를 가지는 K<sup>+</sup>를 소량 치환하고 있음을 알 수  
가 있다.

### 견운모의 생성 연대

견운모광체 내에 있는 견운모를 대상으로 실시한  
K/Ar 동위원소분석 결과에 의하면, 견운모의 형성시  
기가  $153.530 \pm 2.945$  Ma,  $153.4808 \pm 2.895$  Ma로서 중  
생대 주라기에 해당함을 알 수가 있다. 이러한 분석  
결과는 이 지역에 분포하고 있는 후운모화강암의 관  
입시기인 중생대 주라기와 잘 일치하고 있다. 따라서,  
이 지역에 발달하는 견운모광체는 화강편마암을 관입  
한 중생대 주라기의 후운모화강암과 인관된 열수용에  
이 기반암과 반응하여 견운모광상을 형성시킨 것으로  
해석된다.

### 고찰

삼성광산의 연구자료를 국내의 대표적인 전운모 광  
산인 대현광산 및 맥스테광산과 비교해 보면, 대현광  
산의 경우 선캄브리아기 홍재사화강암 내에 전운모  
광상이 배태되어 있으며(이병임, 진수진, 1998), 맥스  
테광산의 경우는 제3기 마이오세의 유문석영안산암질  
용-건웅회암이 열수변질작용을 받은 곳에 형성되어있  
다(이동진, 고상모, 1998). 이에 비해 삼성광산의 경우  
는 전운모광상이 선캄브리아기의 화강편마암 내에 발  
달하고 있어 서로 차이를 나타낸다. 전운모의 모광물  
에 대해서도 대현광산의 경우에는 백운모, 전기석,  
상석, 석영 등으로부터 변질된 것이라 하였으나, 삼  
성광산의 경우는 장상석, 사상석, 흑운모 등이 변질  
되어 전운모를 형성하였으며, 전기석은 발견되지 않  
는다. 한편, 맥스테광산의 경우 전운모광체의 주구성  
광물이 전운모 뿐만 아니라 나이아스돌아, 상흑운모 등이  
함유되어 있는 산이 또한 차이를 나타낸다.

광화작용 시기는 대현광산의 경우 중생대 주라기  
초기(이병임, 1991; 이병임, 진수진, 1998; Koh et al.,  
2000), 혹은 고생대 폐름기-석탄기(Koh et al., 2000),  
그리고 맥스테광산은 제3기 마이오세로 보고된 바가  
있다(이동진, 고상모, 1998; Koh et al., 2000). 한편 삼  
성광산의 전운모 형성시기는 중생대의 중기 주라기( $153.5 \pm 2.9$  Ma)인 것으로 밝혀졌다. 따라서 이를 광  
상에 형성되어 있는 전운모는 모두 중생대에 생성되  
었음을 알 수가 있다.

이러한 국내 주요 전운모 광상들이 모암의 종류  
및 구성광물에 차이를 나타낼 뿐만 아니라, 견운모화  
광화작용의 시기에 있어시도 상당한 차이를 나타내고  
있음을 알 수 있다.

### 결론

이번 연구로부터 도출된 연구결과를 요약하면 다음과  
과 같다.

1. 삼성광산과 그 주변일대에는 선캄브리아기의 화  
강편마암을 모암으로 한 전운모광체가 발달하고 있으  
며, 전운모 광화작용은 중생대 주라기에 일어났다.

2. 삼성광산의 경우, 모암을 구성하는 주요 광물별  
로 전운모로 변질되는 속도가 다르며, 정상석 → 사상

- 석 → 흑운모 순서로 전운모로 변질된다.
3. 삼성광산에서 산출되는 전운모는 2M 형이며, 주요 화학성분의 평균값은  $\text{SiO}_2$ ,  $\text{Al}_2\text{O}_3$ ,  $\text{FeO}_x$ ,  $\text{MgO}$ ,  $\text{K}_2\text{O}$ 의 평균 함량은 각각 47.37wt%, 34.30wt%, 1.23wt%, 0.99wt%, 11.84wt%를 나타내고 있다.
  4. 전운모화 작용이 진행되는 단계에 따라 모암의 화학성분이 변하는데,  $\text{SiO}_2$ ,  $\text{Na}_2\text{O}$  함량은 감소하는 반면,  $\text{Al}_2\text{O}_3$ ,  $\text{K}_2\text{O}$ 는 증가하는 양상을 나타낸다.
  5. 삼성광산과 그 주변 암석에서 관찰되는 전운모 광화작용의 시기는 중생대 주라기로서, 이 시기는 광산 주변에 산출하고 있는 흑운모화상암의 관입시기와 일치하다. 따라서, 이 지역에서의 전운모 광화작용은 화상편마암이 흑운모화상암의 관입에 따른 열수에 의해 변질되어 생성된 것으로 판단된다.

## 사사

이 연구는 한국과학재단의 지역대학 우수과학자 육성지원사업(과제번호: R05-2002-000-01313-0)에 의해 수행되었으며, 인구비 지원에 감사드린다. 또한, 야외 및 실내연구에 노동을 준 충남대학교 시구환경과학부, 광물학실의 신현숙 연구원에게 감사드린다. K/Ar 동위원소분석과 XRF 분석은 기초과학지원연구원 본원과 부산 분원에서, 그리고 전자현미기분석 및 X선회절분석은 충남대학교 공동실험실관에서 각각 실시하였다. 이 논문 연구과정에서 전운모의 물성을 조정해 주시고 또 원고를 정독하시고 교정해 주신 대전보건대학의 이동진 교수님, 그리고 한국지질자원연구원의 고상모 박사님께도 깊이 감사드린다.

## 참고문헌

김종래, 1992, 김해지역 상동광산 전운모의 광물학 및 안

- 정동위원회 조성, 광산 지침, 25 (3), 275-282.
- 김종한, 유장한, 박용순, 김용우, 1984, 대현 전운모광상 조사, 비금속광상연구(한국 동식자원연구소), 99-128.
- 문기원, 문희수, 1995, 부산 보배 전운모광산의 산출상태와 생성환경, 자원환경지 철, 28 (2), 93-107.
- 박영언, 1992, 유·운암·열수반응과 유광 전운모광상의 성인, 광산지침, 25 (3), 225-232.
- 박영석, 김진, 1993, 저도 노석광상에 대한 광물학적 및 지구화학적 연구, 한국광물 학회지, 6 (2), 80-93.
- 양정일, 신희민, 황선국, 배광현, 1996, 산업원료광물의 고부가가치 연구(운모·장석 용 풍선으로), 산업광물, 74-88.
- 이동진, 1994, 국내 산업소재광물의 수급 및 부존 특성, 한국광물학회지, 7 (1), 1-13.
- 이동진, 고상모, 1998, 경북 양산지역산 전운모 광석의 풍성 및 부존상, 한국광물 학회지, 11 (2) 85-96.
- 이병임, 1991, 대현광산의 전운모에 대한 광물학적 연구, 서울대학교 석사학위논문, 143 p.
- 이병임, 김수진, 1998, 대현광산 전운모의 생성과정과 화학 조성 및 polypyte, 한국 광물학회지 11 (2), 69-84.
- 조선총독부 지질조사소, 1931, 청양보드.
- 추창오, 김수진, 1992, 보배광산의 열수변질 절토광상의  $\text{K}_2\text{O}\text{-}\text{Al}_2\text{O}_3\text{-}\text{SiO}_2\text{-}\text{H}_2\text{O}$ 계에서의 일라이트 형성에 관한 연구, 한국광물학회지, 5 (1), 6-13.
- 황진연, 김광희, 정윤영, 1993, 부산 보배노석광산에서 산출하는 절토광물의 산상, 한국광물학회지, 6 (1), 27-37.
- PDF, 1980, Mineral X-ray Powder Diffraction File (Muscovite, 2M), #6-263, International Center for Diffraction Data, 1168 p.
- Koh, S.M., 2000, Geological, geochemical characteristics of the hydrothermal clay alteration in South Korea, 50, 4, 229-242.
- Tokubo, K., 1986, Application of powders to cosmetics-their properties and reform of their function, Fragrance Jour., 80, 60-66.

---

2005년 7월 7일 원고 접수  
2005년 9월 1일 수정원고 접수  
2005년 9월 1일 원고 채택